



ضغط الصورة واستخراج الحواف باستخدام التحويلات السريعة عن طريق تحديد شكل عينات المنطقة المناسبة

*علي عبد الرحمن عكاشه و عبد الحميد علي مادي

قسم الهندسة الكهربائية والالكترونية- كلية العلوم الهندسية والتكنولوجية-جامعة سبها، ليبيا
ali.ukasha@sebhau.edu.ly*

الملخص يتحدث هذا البحث عن دراسة تقنية ضغط الصورة وذلك بتطبيق تقنية ضغط المنطقة باستخدام تحويلتي جيب التمام المنفصلة (DCT) وتحويلة وولش السريعة (FWT). ان عملية ضغط الصورة تمر بعدة مراحل من أهمها تحويل الصورة الرقمية الى المستوى الرمادي (Gray level) أما المرحلة الأخرى فهي اختيار المنطقة المطلوب اجراء عليها عملية الضغط وهي ما تعرف بضغط المنطقة (Zonal Compression) ويتم اختيار هذه المناطق وذلك وفقا لستة اشكال هندسية مختلفة التي تم اقتراحها في هذا العمل لتتم مقارنتها لاحقا مع ماقترح سابقا من اشكال اخرى. وقد اختص هذا البحث أيضا بتوضيح كيفية استخلاص حدود الصورة وذلك باستخدام مرشحات الامرار المنخفض (LPF) ومرشحات الامرار العالي (HPF) وذلك من أجل تمييز تفاصيل الصورة الرقمية وتوضيح حدودها وذلك باستخدام تقنية جهد العتبة (Threshold) على الصورة الناتجة من مرشحات الامرار العالي (HPF). يهدف هذا البحث عموما الى ضغط الصورة الرقمية وذلك لتقليل حجمها بدون التأثير على تفاصيل الصورة ووضوحية حدودها. المقارنة سوف تتجزء بين خوارزمية تحويلتي (DCT) و (FWT) في حدود حساب جودة الصورة (PSNR)، وعدد البتات لكل بيكسل (bpp)، ومربع متوسط الخطأ (MSE) ونسبة الضغط (CR) ومن ثم نقوم بتطبيق تقنية جهد العتبة (Threshold) على الصورة الناتجة من مرشحات الامرار العالي (HPF) وذلك للحصول على الصورة الثانية التي توضح حدود الصورة، وتسمى الصورة الناتجة بالصورة التفصيلية للحدود. نتائج التجارب والتحليل لضغط الصورة باستخدام (LPF) تظهر ان (DCT) تعطي اعلى جودة (45 ديسيل) بنسبة ضغط تساوي 89.0144 % عن تحويلة (FWT) حيث جودة الصورة 36 ديسيل وبنسبة ضغط 79.6921 %. يبقى ان نشير الى ان تحويلة (FWT) تقدم افضل جودة عن مانقدمه تحويلة (DCT) لاستخلاص الحدود باستخدام (HPF).

الكلمات المفتاحية: تحويلة وولش (Walsh)، تحويلة جيب التمام المنقطع (DCT)، ضغط الصورة، اشكال اخذ عينات المنطقة، كاشفات حدود الصورة.

Image Compression and Edges Extraction using Fast Transforms by Selecting an Appropriate Region Samples Shape

*A. A. Ukasha, A. A. Madi

Electrical & Electronics Engineering Department, Sebha University, Libya

*Corresponding author: ali.ukasha@sebhau.edu.ly

Abstract This research is a study of region-based image compression techniques using discrete cosine transform (DCT) and fast Walsh transform (FWT). The process of image compression goes through several stages, the most important conversion of the digital image to the gray level. The other stage is the selection of the zone-of-interest region to perform the compression process which is known as zonal compression. These existed methods are selected according to the six different geometric shapes that are proposed in this work to be compared with the existing methods. This study was also used to illustrate how to extract the image edges using low-pass and high-pass (LPF and HPF) filters in order to distinguish the details of the digital image and to clarify its boundaries using the Threshold technique on the image obtained by HPF. This research aims at compressing the digital image in order to reduce its size without affecting the details of the image and clarify its boundaries. The comparison is done between (DCT) and (FWT) transforms in terms of peak-to-signal ratio (PSNR), bit per pixel (bpp), mean square error (MSE), and compression ratio (CR) and then we apply the threshold technology to the resulting image from (HPF) to obtain the binary image that illustrates the image boundary. The resulting image is called the image detailed edges. Experimental results and analysis for image compression using LPF show that DCT gives higher PSNR (45 decibels) with CR=89.0144% than FWT (36 decibels) with CR=79.6921%; while the FWT introduce better quality than that by using DCT for contour extraction using HPF.

Keywords: Image compression, Image edge detection, Walsh & DCT Transforms, Zonal sampling methods.

المقدمة

طبيعي اخر ويمكن التصور أن المجال الأول أنه دالة بمتغير ما وال المجال الطبيعي الآخر دالة أخرى بمتغير آخر.

• تحويلة جيب التمام المنقطع (The Discrete Cosine Transform) (DCT) :-

تحويلة جيب التمام المنفصلة DCT تساعد على فصل الصورة الى أجزاء أو كتل متماثلة، ان تحويلة DCT مشابهة لتحويلة فوريير المنفصلة حيث تقوم هذه التحويلة بتحويل الاشارة او الصورة من المجال المكاني الى المجال التردد [1, 9]. هو تحويل رياضي له عدة استخدامات في التقنيات الرقمية وخاصة في مجال معالجة الإشارة الرقمية. من أشهر تطبيقات هذا التحويل خوارزميات ضغط JPEG و MPEG و MP3 . يعبر تحويل جيب التمام المنقطع عن سلسلة محددة من نقاط البيانات من حيث مجموع توابع جيب التمام المتذبذب على ترددات مختلفة. وهو تقنية تحويل تستخدم على نطاق واسع في معالجة الإشارة وضغط البيانات.

لجعل DCT تحويلة متعمدة، سنعرف المعامل التالي [14] :

$$a[n] = \begin{cases} \sqrt{1/N} & n = 0 \\ \sqrt{2/N} & n = 1, 2, \dots, N - 1 \end{cases} \quad (1)$$

حيث تصبح DCT كما يلي:

$$\begin{aligned} X[n] &= a[n] \sum_{m=0}^{N-1} x[m] \cos\left(\frac{(2m+1)n\pi}{2N}\right) \\ &= \sum_{m=0}^{N-1} x[m]c[n,m] \quad (n = 0, \dots, N - 1) \end{aligned} \quad (2)$$

حيث ان $c[n,m]$ تمثل مصفوفة التحويل.

حيث ان حيث ان

• تحويلة وولش السريعة (Fast Walsh Transform) FWT :-

أن دوال وولش تكون مرتبة بواسطة تسلسل معين ومرتب بحيث يكون التقاطع للاعداد عند الصفر وهذا كلة يكون مشابهة للتحويل المتماثل دالة فوريير عندما تكون الدوال الأساسية في مجال التردد. ونلاحظ أن مصفوفة وولش تكون حقيقة حيث تأخذ قيم موجبة مثل (+1) وقيم سالبة مثل (-1).

وان تحويلة وولش تكون أقل أهمية أو شائعاً من DFT في المظهر وأن معظم الناس تعرف وتطبق تحويلة DCT التي تملك أعظم مهارة في قدرة النطاق. ومن الملحوظ أن تحويلة وولش هي الأكثر أهمية واستخداماً في المضاعفة أو التعدد التي تستخدم عملية الارسال المنفصل للبيانات (Multiplexing) في وقت واحد ولهذا هي ليست متطلبة المهارة العالية لحزن القراءة. للحصول على

شهدت الاونة الاخيرة تطوراً ملحوظاً في مجال الحواسيب والاتصالات لتنقل من العالم التشابهي الى العالم الرقمي الذي حقق العديد من الميزات التي لم تكن موجودة في ما مضى من سرعة في الأداء وجودة في العمل بالإضافة الى توفير المساحة والحجم والوزن ورخص الثمن وسرية البيانات. لقد ازداد التوسيع في مجال تطبيقات ومعالجة الصور الرقمية فأصبح يشمل الطب وعلوم الفضاء والاذاعة المرئية والدفاع والبحوث الفضائية والاتصالات. ان احد انواع ضغط الصورة تعتمد على اختيار اشكال اخذ عينات المنطقة لطيف الصورة، حيث مؤخراً قدمت العديد من هذه الاشكال بالخصوص. ان هذا البحث يهدف الى ضغط الصورة واستخلاص حدودها بجودة عالية باستخدام مرشحات الامرار المنخفض والعلوي اعتماداً على الاشكال الهندسية المقترحة في هذه الورقة ومن تم مقارنتها بالاشكال الهندسية المقدمة في [3] و [4] باستخدام المجال التردد لتحويلات جيب التمام المنقطعة (DCT) ولوشن السريعة (FWT) التي يمكن ايجادها في العديد من المراجع مثل [6, 10].

المواد وطرق العمل

للتحقق من هدف هذه الدراسة وإثبات كفاءة الخوارزمية المقترحة تمت المحاكاة باستخدام برنامج ماتلاب Matlab .

1- الصورة الرقمية

يحدد حجم الصورة بطريقتين إما بأبعادها باليكسلات أو بعدد اليكسلات المكونة لها [7]. هناك بعض الصور التي تتجاوز مستوياتها الرمادية معدلات كبيرة من التدرج الرمادي وبالتالي فيكون لها تباين عالي (high-contrast) وبالعكس فإن الصورة التي معدلاتها منخفضة يكون لها تباين أقل (low-contrast) [2].

لذا فإنه يمكن رؤية اي مشهد بخطوتين (أ) تحويل المشهد الثلاثي الأبعاد الى سطح ثانى الابعاد و (ب) تعين شدة أضاءة معينة لكل نقطة في الصورة مساوية او مطابقة لكل نقطة في المشهد [8].

للحصول على صورة رقمية اربعة انواع رئيسية هي: الصورة الثنائية (Binary Image) - الصور الملونة (RGB) - الصورة الرمادية (Gray Image) - الصورة المفهرسة (Indexed Image) .

2- التحويلات (Transforms)

المفهوم العام للتحويل هو الانتقال من مجال طبيعي الى مجال طبيعي آخر، أي تحويل الصورة من مجال طبيعي الى مجال

1- قياس الجودة في تشفير الصورة :-
للحكم على مدى جودة الضغط التي تحصلنا عليها بعد عملية الضغط فاننا نستخدم ما يسمى (PSNR) وهي النسبة بين القيمة العظمى للإشارة والضجيج أي (Peak-Signal-to-Noise Ratio) ويمكن حسابها من المعادلة

$$PSNR(I, \tilde{I}) = 10 \log_{10} \frac{(L-1)^2}{MSE(I, \tilde{I})} \quad (4)$$

ولحساب قيمة PSNR فاننا أولاً نقوم بحساب قيمة متوسط مربع الخطأ أي (MSE) Mean-Square-Error (التي تعطى بالمعادلة

$$MSE(I, \tilde{I}) = \frac{1}{(n*m)} \sum_{i=0}^n \sum_{j=0}^m (I(i, j) - \tilde{I}(i, j))^2 \quad (5)$$

حيث ان L هي عدد المستويات الرمادية للصورة ، وان I و \tilde{I} هما الصورة الأصلية والمسترجعة على الترتيب.

3- ضغط المنطقة (Zonal Compression)

تتل عملية ضغط المنطقة على إبقاء معاملات من الصورة ضمن مناطق محددة (specific-zones) وذلك بعد اجراء عملية التحويل من النطاق المكاني الى النطاق الترددى وذلك حتى يمكن التحكم في المعاملات المكونة للصورة، وتصفير بعض المعاملات الأخرى وترتبط المناطق المطلوب تصفيتها أو إبقاء معاملاتها على اللوغرامات التي تم توضيحتها سابقاً وتخلص فكرة الضغط بالمنطقة بأن معاملات الترددات المنخفضة يتم إبقاءها ومعاملات الترددات المرتفعة يتم التخلص منها. وأن ضغط المنطقة يعتمد على عدد البتات بكل بكسل (bits per pixel) (bpp) والتي تعطى بالمعادلة الآتية :-

$$bpp = \frac{N^2 * 8}{n * m} \quad (6)$$

حيث ان N^2 هي حجم منطقة اخذ العينات وكل بكسل فيها له عمق لوني يساوى 8 بت.

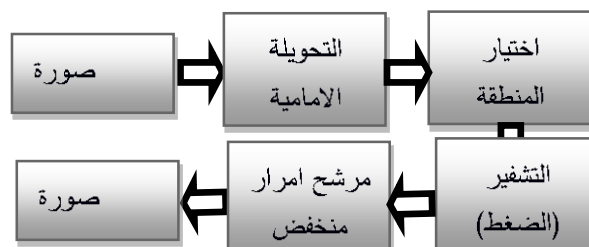
4- كشف حدود الصورة (Image Edge Detector)

ان عملية كشف الحد (Edge detection) لها أهمية عالية في حل مشكلة تحليل الصور، ففي الصورة المثلثية يتم تمييز حافات حدود الجسم وتكون ذات أهمية وفائدة في عملية تقسيم الصورة الى قطع وتوضيح حدودها وذلك لمعالجتها أو لاستخدامها في عمليات الكشف عن الصورة، في عملية المراقبة وفي عملية التصوير بالأشعة لتوضيح حدود العظام لمعرفة مكان الكسور وكذلك لتعريف الأجسام في المشهد. لاكتشاف أي صورة يجب معرفة نقطتين مهمتين قبل القيام بعملية الاشتغالات الأتجاهية التي

تحويلة وولش السريعة فان دوال وولش الاساسية يعاد ترتيبها تسلسليا (Sequency order). التسلسلي يعني عدد الاصفار التي تقطع المحور الافقى للتتحقق فانها تساوي نصف عدد الاصفار التي تقطع المحور الافقى في دورة واحدة من الوقت [11, 12]. [13]

ضغط الصور (IMAGE COMPRESSION)

أن تخزين بيانات الصورة لأجل الاحتياجات المستقبلية تحتاج إلى مساحة حفظ كبيرة، وان ارسال بيانات الصورة في زمن معقول يحتاج إلى قناة ذات سعة عالية، وللتقليل من هذه الاحتياجات فانها تستخدم تقنية تسمى ضغط البيانات data Compression. لذلك فإن تقنيات الضغط تجزء بواسطة توصيف الصورة بطرق تأخذ أقل مساحة من الطريقة الكلاسيكية. في الحقيقة ان تقنيات الضغط تعيد اظهار بيانات الصورة باستخدام بذات أقل من البناء التي تتطلبها الصورة الأصلية، لذلك فإن هذا النوع من التقنية ربما يتضمن أيضاً استخلاص ميزات الصورة [7]. أن الخطوات الرئيسية لاجراء ضغط البيانات هو (أ) التحويل، (ب) اختيار المنطقة، (ج) التشفير كما موضح بشكل 1.



شكل 1 : الخطوات الرئيسية لاجراء ضغط البيانات

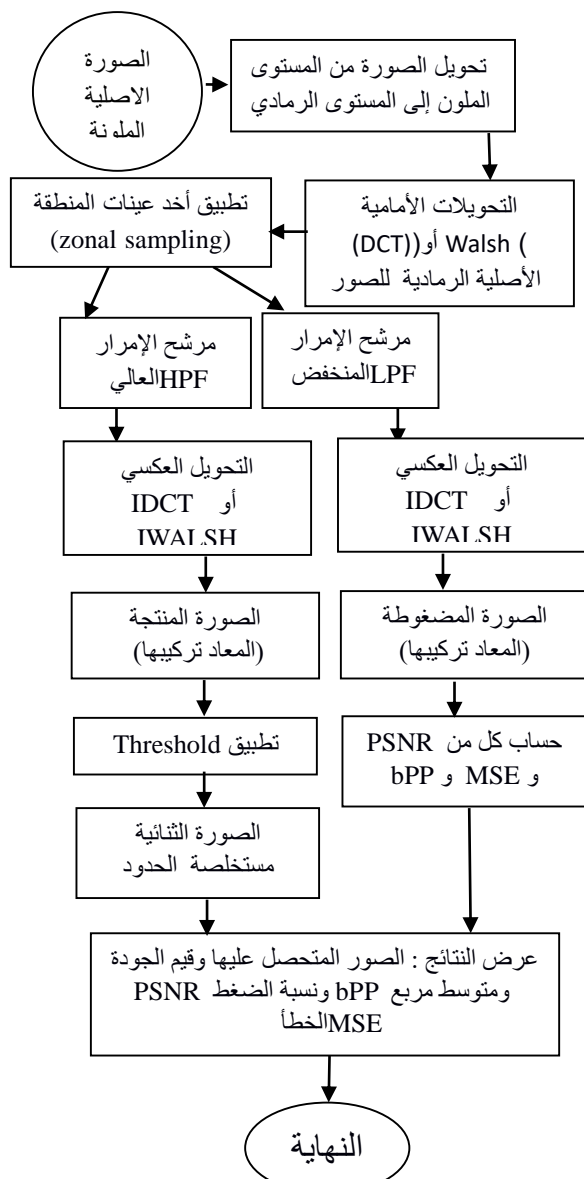
الهدف من تقنية الضغط هو تحقيق القدر الأكبر للصورة المسترجعة بدون الحصول على خطأ. اذا كانت كمية الخطأ المعرفة هي صفر فان الضغط يسمى ضغط خالي من الخطأ error-free compression أو ضغط بفقد أقل loss-less compression . و الا فان الضغط يكون بفقد lossy compression.

ان نسبة الضغط المستخدمة في هذه الورقة تعرف بالمعادلة

$$CR = \frac{NOZ}{n * m} * 100\% \quad (3)$$

حيث ان NOZ تمثل عدد المعاملات في النطاق الترددى التي تحتوي على اصفار وان $n * m$ تمثل حجم الصورة.

• معايير الضغط (Criterions Compression)



شكل 2: المخطط الصندوقى للخوارزمية المقترنة

شكل 3 يوضح الصور التى تم ادخالها للبرنامج. الخطوة الاخرى
أتنا حول الصور إلى المستوى الرمادي أي (Gray-Level) وهذه
الخطوة مهمة جدا حيث أن دالة وولش (Walsh) تكون حقيقة
أى لا تتعامل مع الأعداد المركبة (قيمها $+1$ و -1). [7].



شكل 3: الصور العلوية ملونة بينما السفلية ذات مستوى رمادي
 أ) صورة عالية التفاصيل ب) صورة ذات مقدار متوسط من التفاصيل ج) صورة ذات تفاصيل قليلة

توضح الحدود الخارجية والداخلية للصورة والنقطتين هما مقدار الميل واتجاهه.

هناك العديد من المراجع التي تتحدث عن كاشفات الحدود للحصول على حدود الصورة بنوع من التفصيل مثل سوبيل Sobel وبريفيت Prewitt وكاني Canny كما هو في [5]. بقي ان نشير الى اننا استخدمنا في هذا البحث قيمة عتبة مناسبة للحصول على حدود الصورة كخطوة اولى لتنفيذ البرنامج، علي امل ان نستخدم كاشفات الحدود هذه لاحقا في عمل اخر.

الخوارزمية المقترنة للضغط

في هذا الجزء سنقوم بمناقشة وتوضيح كيفية البرمجة المستخدمة للحصول على النتائج العملية التي تثبت مدى صحة عملية الضغط المستخدمة، وتحليل النتائج العملية المتحصل عليها وتمت هذه البرمجة باستخدام برنامج Matlab 7.0.4.

يوضح هذا الجزء كيفية ضغط الصورة وذلك عن طريق ضغط المنطقة (Zonal Compression) واستخلاص حدوده، وذلك باستخدام تقنيتي تشفير التحويلتين (وولش السريعة (FWT) وتحويلة جيب التمام المنفصلة (DCT)). حيث تم اقتراح ستة أشكال هندسية ، اعتماداً على أن اغلب تركيز الطاقة يجب أن يكون في أعلى يسار طيف الصورة. ولقد تم توضيح كيفية استخلاص حدود الصورة عن طريق مرشحات الإمارات المنخفضة (LPF) ومرشحات الإمارات العالي (HPF). المخطط الصندوفي للخارزمية المقترنة مبيناً في شكل 2.

ويوضح هذا القسم أيضا النتائج المتحصل عليها المتعلقة بحساب (PSNR)، (BPP) و (MSE) للصور الناتجة من مرشحات الإمداد المنخفض (LPF) و (CR) للصورة الناتجة من مرشحات الإمداد العالي (HPF) ثم نقوم بتطبيق تقنية جهد العتبة (Threshold) على الصورة الناتجة من مرشحات الإمداد العالي (HPF) وذلك للحصول على الصورة الثانية التي توضح حدود الصورة، وتسمى الصورة الناتجة بالصورة التفصيلية للحدود.

طريقة عمل البرنامج

نقوم أولاً باستدعاء الصور الأصلية (الملونة) وهنا قمنا باستدعاء ثلاثة صور على درجات مختلفة من الدقة في التفاصيل وذلك لمعرفة الفرق في الضغط بين الصور الثلاث وكانت الصورة الأولى (صورة الوجه) متساوية الصفوف والأعمدة، أما الصورتين الثانية والثالثة فهما مختلفان في الصفوف والأعمدة حتى نتمكن من معرفة مدى تأثير ذلك على عملية الضغط واستخلاص الحدود.

وذلك للحصول على الصورة الثانية التي توضح حدود الصورة، وتسمى الصورة الناتجة بالصورة التفصيلية للحدود.

النتائج والمناقشة

نتائج صورة الوجه باستخدام تحويلة جيب التمام المترقطعة (DCT)

ان افضل صور الوجه المسترجعة اعتمادا على مناطق اخذ العينات المقترحة واستخدام تحويلة DCT ومرشح المرار المنخفض مبينة في شكل 5 (النتائج المتعلقة بها في الجدول 1). ان افضل الاشكال السابقة هو الشكل (E) وكانت قيمة البتات لكل بكسل عندها هي (5.1328) وبالنالي كانت نسبة الضغط عندها هي (64.16%) وتم حساب نسبة الضغط وذلك بقسمة العدد الناتج من عملية الضغط وهو (5.1328) على العدد الكلي للبتات وهو 8 بت لكل بكسل وباقى القيم كما هي موضحة في جدول 2. الجدول 3 يوضح نسبة الضغط لصور المسترجعة باستخدام مرشحات الامرار العالى.

نود ان نشير الي ان افضل الصور جودة يمكن ان تعطى نسبة ضغط عالية او منخفضة ، وذلك اعتمادا علي الشكل الهندسي للمنطقة المستخدمة ، ولنوع التحويلة المطبقة ، و لمستوي تفاصيل صورة الاصلية المدخلة.



شكل (E) شكل (G)

شكل 5: الصور المسترجعة اعتمادا على مناطق اخذ العينات المقترحة للاشكال (E, G) واستخدام تحويلة DCT ومرشح الامرار المنخفض

جدول 1: قيم PSNR و Bpp و MSE لصورة الوجه باستخدام تحويلة LPF و DCT

الشكل المستخدم	LPF و DCT			
	NxM	MSE	PSNR	bpp
	عدد بكسلات			
E	168192	2	45	5.1328
G	86272	4	42	5.1300

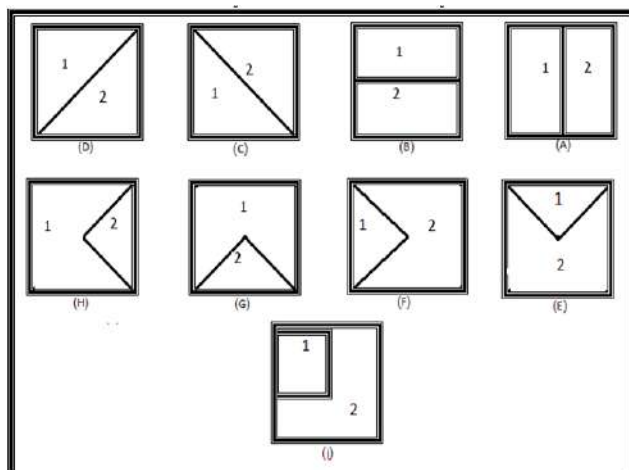
جدول 3: قيم CR لصورة الوجه باستخدام تحويلة DCT و HPF

نسبة الضغط	الشكل المستخدم
52.89	B
88.18	E

الخطوة التي تليها فهي عملية التحويل الأمامية وذلك لكي تقوم بتحويل الصورة الرقمية من النطاق المكاني إلى النطاق الترددى وتنتمي هذه العملية عن طريق احدى التحولتين (FWT - DCT). تتم عمليةأخذ عينات المنطقة (zonal Sampling) وذلك بإجراء عملية التكمية على المعاملات الناتجة بأخذ عدد (N^*M) من المعاملات الناتجة وجعل الباقى أصفارا وتخالف هذه المناطق على حسب الشكل المختار.

مناطق اخذ العينات المقترحة

يتم في هذه الخطوة عملية أخذ عينات المنطقة أي (Sampling) و ذلك بإجراء عملية التكمية على المعاملات الناتجة بأخذ عدد (N^*M) من المعاملات الناتجة وجعل الباقى أصفارا وتخالف هذه المناطق على حسب الشكل المختار (انظر شكل 4). هناك 6 أشكال مختلفة مقترحة في مناطق مختلفة كما هو مبين في شكل 11 التالي (A, B, C, E, G, and H) لتتم مقارنتها مع اشكال قدّمت من قبل (i) [3] و [4] لمعرفة أي هذه المناطق هي الأفضل في الضغط أي التي تعطي نواتج أكثر جودة. ونوضح في هذه الخطوة أيضا كيف يمكننا استخلاص حدود الصورة، وذلك عن طريق المرشحات ذات الامرار المنخفض ومرشحات الامرار العالى حيث أنه نلاحظ في جميع الاشكال السابقة الرقم (1) يدل على أن الجزء الموجود به هذا الرقم هو عبارة عن مرشح الامرار المنخفض (LPF) مطبق على هذه المنطقة، أما المرشح الامرار العالى (HPF) فهو مطبق على المنطقة التي بها الرقم (2)، فيما عدا الشكل (G) فكانت النتيجة عكسية.

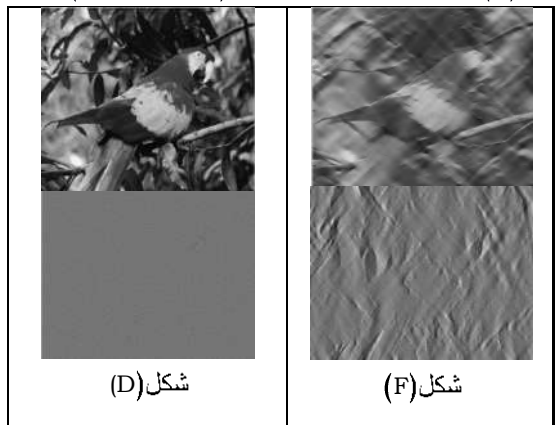


شكل 4: اشكال المنطقة المستخدمة

استخلاص حدود الصورة الرقمية الناتجة من مرشحات الامرار العالى (HPF) هو تحسين الصور في المجال المكاني ومن ثم نقوم بتطبيق تقنية جهد العتبة (Threshold) على هذه الصورة

وكانت نسبة الضغط عندها هي (39.50%). نسبة الضغط (CR) للصور الناتجة من مرشحات الإمارات العالي (HPF) مبينة في جدول 5.

ما سبق يمكن القول أن أفضل الصور التفصيلية الحدوية التي يمكن الحصول عليها من مرشحات الإمارات العالي (HPF) هي الصورة التي تطبق اللوغاريتم شكل (F) وكانت أقل نسبة ضغط (50.348%). كما لا حظنا أن أعلى نسبة ضغط تكون في الشكل (H) حيث بلغت نسبة الضغط (72.8617%).



شكل 8: الصور المسترجعة (الطائر) اعتماداً على مناطق أخذ العينات المقترنة واستخدام تحويلة DCT ومرشحات الإمارت المنخفض (العمود الأيمن) والعلوي (العمود الثاني)

جدول 4: قيم PSNR و Bpp و MSE لصورة الطائر باستخدام تحويلة LPF و DCT

الشكل المستخدم	تحويلة LPF و DCT				
	NxM	عدد بيكسلات	MSE	PSNR	bpp
D	310656	1	48	3.1602	
F	155520	671	20	1.5820	

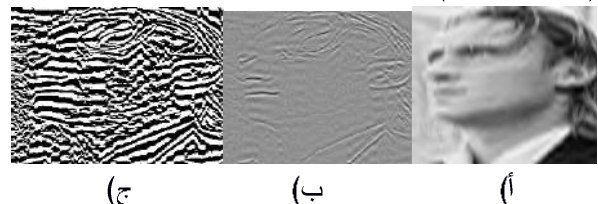
جدول 5: قيم CR لصورة الطائر باستخدام تحويلة DCT و LPF

الشكل المستخدم	نسبة الضغط
LPF	50.34
HPF	72.86

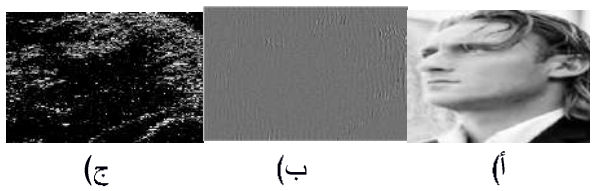
نتائج صورة الطبيعة باستخدام تحويلة جيب التمام المقطعة (DCT)

بالنسبة إلى صورة الطبيعة فإنه عند تطبيق تحويلة DCT، فإن جدول 6 يوضح المتغيرات التي تحدد الجودة والدقة ونسبة الضغط للصورة بالنسبة للصور الناتجة من مرشحات (LPF)، حيث أن أفضل دقة وجودة للصور في الأشكال السابقة هو الشكل (D) وكانت نسبة الضغط عندها هي (39.50%).

من ما سبق يمكن التمييز بأن أفضل الصور التفصيلية الحدوية التي يمكن الحصول عليها من مرشحات الإمارت العالي (HPF) هي الصورة التي تطبق الشكل المنطقية المقترنة (B) وكانت نسبة الضغط هي (52.8973%). شكل 6 يوضح الصورة الناتجة من (LPF) والناتجة من (HPF) والصورة الثانية (مكونة من لونين أبيض وأسود) الناتجة من تطبيق تقنية العتبة Threshold لأفضل صورة حدوية. شكل 7 (أ) يبين الصورة التي لها أعلى قيمة للجودة بأقل نسبة اخطاء الناتجة من تطبيق الشكل المنطقية المقترنة (E). شكل 7 (ب) يوضح الصورة الناتجة من مرشحات الإمارت العالي (HPF)، بينما شكل 7 (ج) يبين الصورة الثانية الناتجة من تطبيق تقنية Threshold للصورة الناتجة من مرشحات الإمارت العالي (HPF) حيث بلغت نسبة الضغط لها (88.1813%).



شكل 6: الصورة الناتجة من مرشح الإمارت المنخفض (LPF) (B) الصورة الناتجة من مرشح الإمارت العالي (HPF) (C) الصورة الثانية للصورة الناتجة من (HPF) للشكل (B)



شكل 7: الصور المسترجعة اعتماداً على مناطق أخذ العينات المقترنة واستخدام تحويلة DCT ومرشح الإمارت المنخفض (LPF) (A) الصورة الناتجة من مرشح الإمارت المنخفض (LPF) للشكل (B) الصورة الناتجة من مرشح الإمارت العالي (HPF) للشكل (C) الصورة الثانية للصورة الناتجة من (HPF) للشكل (E)

نتائج صورة الطائر باستخدام تحويلة جيب التمام المقطعة (DCT)

اما بخصوص النتائج المتعلقة بصورة الطائر، فان شكل 8 يبين الصور في حالة (LPF) و (HPF) الناتجة من تطبيق DCT على الصورة الأصلية للأشكال المستخدمة (D, F) . جدول 4 التالي يوضح المتغيرات التي تحدد الجودة والدقة ونسبة الضغط للصورة بالنسبة للصور الناتجة من مرشحات (LPF). حيث يمكن تحديد أفضل دقة وأفضل جودة للصور السابقة هو صورة الشكل (D)

نتائج صورة الوجه باستخدام تحويلة وولش السريعة (FWT)
 تحويلة وولش السريعة لا تختلف كثيراً عن تحويلة جيب التمام المترافق (المنفصلة) مع أنها أكثر تعقيداً وتحتاج إلى برامج طويلة ومترافقه وهي أيضاً تحتاج إلى وقت أطول في التطبيق والتي جهاز ذو مواصفات عالية ومن أهمها السرعة لهذا فهي أقل تطبيقاً من التحويلات الأخرى مثل تحويلة (DCT). إن الية عمل تحويلة وولش السريعة تتطلب بأن تكون الصورة مربعة الشكل للقوة 2 (2^n)، حيث أن n تمثل عدد صحيح نتائج صور الوجه المسترجعة اعتماداً على مناطق أحد العينات المقترحة واستخدام تحويلة وولش السريعة (FWT) ومرشح المرار المنخفض مبينة في جدول 8.

جدول 8: قيم MSE و PSNR و bpp وصورة الوجه باستخدام تحويلة وولش السريعة (FWT)

الشكل المستخدم	NxM	عدد بيكسلات	الشكل المستخدم		MSE	PSNR	bpp
الشكل المستخدم	NxM	عدد بيكسلات	الشكل المستخدم	MSE	PSNR	bpp	
B	28*512	378		22	0.444		
G	168192	17		36	5.1328		
i	128*128	84		29	0.5000		

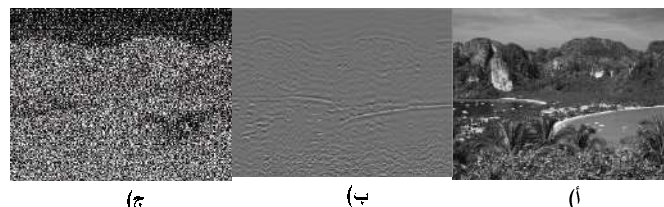
ومن جدول 8 تتمكننا من معرفة أي الأشكال السابقة هي الأفضل في الدقة ومدى نسبة الضغط ومدى قيمة الجودة لهذه الصورة التقريبية لصورة الحقيقة، ووجدنا أن أفضل الأشكال السابقة هو الشكل (G) وكانت نسبة الضغط عندها هي (64.16%).
 ونلاحظ أن قيمة نسبة الضغط الموضحة في جدول 4 هي نفس القيم المتحصل عليها من تحويلة DCT. أما قيمة مربع الأخطاء وقيمة مدى الجودة فهي تختلف بمدى دقة الصورة المستخدمة وحجمها.

نسبة الضغط (CR) للصور الناتجة من مرشحات الإمارار العالمي (HPF) مبينة في جدول 9.

جدول 9: قيم MSE و PSNR و bpp وصورة الوجه باستخدام تحويلة FWT

الشكل المستخدم	نسبة الضغط
B	50.70
G	62.70
i	81.58

مما سبق يمكن القول أن أفضل الصور التفصيلية الحدويدية التي يمكن الحصول عليها من مرشحات الإمارار العالمي (HPF) هي الصورة التي تطبق اللوغاريتم شكل (B) وكانت نسبة الضغط هي (50.7011%)، وهي أقل نسبة ضغط. كما نلاحظ من جدول



شكل 9: باستخدام تحويلة DCT للشكل (D) أ) الصورة الناتجة من مرشح الإمارار المنخفض (LPF) ب) الصورة الناتجة من مرشح الإمارار العالمي (HPF) ج) الصورة الثانية للصورة الناتجة من (HPF)

جدول 6: قيم PSNR و MSE و bpp وصورة الطبيعية باستخدام تحويلة DCT

الشكل المستخدم	NxM	عدد بيكسلات	MSE	PSNR	bpp
D	310656	19	35	3.1602	

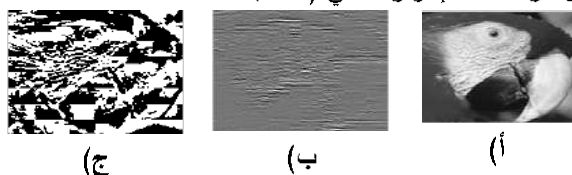
للحكم على مدى نسبة الضغط (CR) للصورة التفصيلية الحدويدية الناتجة من مرشحات الإمارار العالمي (HPF) فلذا بعرض القيم كما هو مبين في جدول 7. أن أفضل الصور التفصيلية الحدويدية التي يمكن الحصول عليها من مرشحات الإمارار العالمي (HPF) هي الصورة التي تطبق اللوغاريتم شكل (D) وكانت نسبة الضغط هي (52.0407%) والشكل القائم سيوضح الصورة الناتجة من (LPF) والناتجة من (HPF) والصورة الثانية لأفضل صورة حدويدية الناتجة من تطبيق تقنية Threshold.

جدول 7: قيم CR لصورة الطبيعية باستخدام تحويلة DCT

الشكل المستخدم	نسبة الضغط
D	52.04
E	67.24

نلاحظ من الجدول (7) أن أعلى نسبة ضغط تكون في الشكل (E) حيث بلغت نسبة الضغط (67.2457%), وأقل نسبة ضغط كانت في الشكل (D) حيث كانت النسبة (52.0407%) وساق الشكل الآتي (9-أ) يوضح الصورة التي لها أعلى جودة واقل نسبة الأخطاء في الصور الناتجة من مرشحات الإمارار المنخفض (LPF) وهي كما موضحة في الجدول (7) السابق، والشكل (9-ب) يوضح الصورة المكملة للصورة الناتجة من مرشحات الإمارار المنخفض (LPF) وهي الصورة الناتجة من مرشحات الإمارار العالمي (HPF) وكانت نسبة الضغط (52.0407%), والشكل (9-ج) يوضح الصورة الثانية المكونة من لونين أبيض وأسود للصورة الناتجة من مرشحات الإمارار العالمي (HPF).

(HPF). جدول 11 يوضح قيمة نسبة الضغط (CR) للصور الناتجة من مرشحات الإمرار العالي (HPF).



شكل 11: باستخدام تحويلة FWT لشكل (C) الصورة الناتجة من مرشح الإمرار المنخفض (LPF) بـ) الصورة الناتجة من مرشح الإمرار العالي (HPF) (ج) الصورة الثانية للصورة الناتجة من (HPF)

جدول 11: قيمة CR لصورة الطائر باستخدام تحويلة FWT

نسبة الضغط	الشكل المستخدم	CR%
52.02	B	
50.43	F	

مما سبق يمكن القول أن أفضل صورة تفصيلية حدودية يمكن الحصول عليها من مرشحات الإمرار العالي (HPF) هي الصورة التي تطبق اللوغاريتم شكل (B) وكانت نسبة الضغط هي (52.026%). نلاحظ من الجدول (11) أن أعلى نسبة ضغط تكون في الشكل (H) حيث بلغت نسبة الضغط (63.6658%),، وأقل نسبة ضغط كانت في الشكل (F) حيث كانت النسبة (50.4395%). النتائج المتعلقة بصورة الطبيعة باستخدام تحويلة وولش السريعة ومرشح الإمرار المنخفض وكذلك نسب الضغط مبينة في جداول 12 و 13 على التوالي.

جدول 12: قيم PSNR و MSE و bpp و صورة الطبيعة باستخدام تحويلة FWT

الشكل المستخدم	NxM	عدد بيكسلات	الشكل المستخدم	MSE	PSNR	bpp
B	14*256	605	20	0.444		
F	19066	385	22	2.3247		

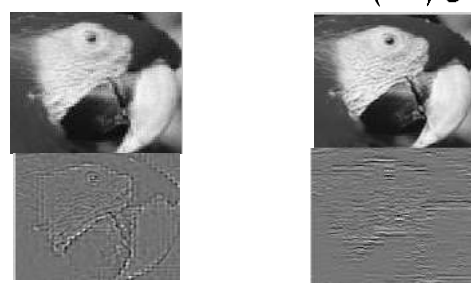
جدول 13: قيمة CR لصورة الطبيعة باستخدام تحويلة FWT

نسبة الضغط	الشكل المستخدم
53.14	B
52.72	C
52.15	F

ومن الجدول (13) وجدنا أن أعلى نسبة ضغط تكون في الشكل (i) حيث بلغت نسبة الضغط (58.7677%),، وأقل نسبة ضغط كانت في الشكل (F) حيث كانت النسبة (52.1500%). الشكل (12) يوضح الصورة التي لها أعلى جودة وأقل نسبة الأخطاء

11 أن أعلى نسبة ضغط تكون في الشكل (i) حيث بلغت نسبة الضغط (81.5895%).

نتائج صورة الطائر باستخدام تحويلة وولش السريعة (FWT) ان حجم صورة الطائر ليست مربعة ويجب ان تكون للقوة 2 ولتبسيط فان حجم صورة الطائر هي 128x128. شكل (10) يمثل الصور الناتجة من مرشحات (LPF) و (HPF) الناتجة من تطبيق تحويلة وولش السريعة FWT على الصورة الأصلية للطائر للاشكال المستخدمة (C, G). جدول 10 يوضح المتغيرات التي تحدد الجودة والدقة ونسبة الضغط بالنسبة للصور الطائر الناتجة من FWT (LPF).



شكل (G)

شكل (C)

شكل 10: الصور المسترجعة (الطائر) اعتماداً على مناطق اخذ البيانات المقترنة واستخدام تحويلة FWT ومرشحات الامرار المنخفض والعلوي

جدول 10: قيم PSNR و MSE و bpp و صورة الطائر باستخدام تحويلة FWT

الشكل المستخدم	NxM	عدد بيكسلات	الشكل المستخدم	MSE	PSNR	bpp
C	15256	20	35	7.4492		
G	14128	109	28	6.8984		

أفضل دقة وأفضل جودة للصورة في الأشكال السابقة هو الشكل (G) وكانت نسبة الضغط عندها هي (93.115%).

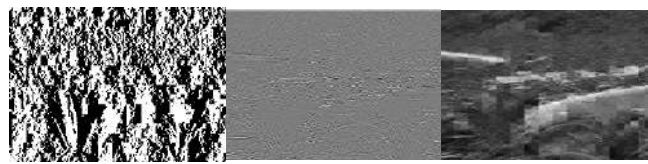
الشكل (11-أ) يوضح الصورة التي لها أعلى جودة وأقل نسبة الأخطاء في الصور الناتجة من مرشحات الإمرار المنخفض (LPF) وهي كما موضحة في الجدول (8) السابق وذلك باستخدام اللوغاريتم الشكل (C)، والشكل (11-ب) يوضح الصورة المكملة للصورة الناتجة من مرشحات الإمرار المنخفض (LPF) وهي الصورة الناتجة من مرشحات الإمرار العالي (HPF) و كانت نسبة الضغط (52.1423)، والشكل (11-ج) يوضح الصورة الثانية للصورة الناتجة من مرشحات الإمرار العالي

تحصلنا عليه في حالة صورة الوجه القليلة التفاصيل ذات الحجم (512*512) وكانت الصورة الناتجة واضحة وبلغت نسبة الضغط إلى (CR=62.7018%) وهي أقل من نسبة الضغط لنفس الصورة في حالة (DCT) والتي كانت (CR=88.1813%) (DCT) في حالة (HPF) في حالة (DCT) إلى (FWT) وكانت أعلى نسبة الإمرار العالى (HPF) بينما في حالة تحويلة ووالش (FWT) فإن تحويلة (FWT) (CR=79.6921%)، ولكن من ناحية أخرى فإن تحويلة (FWT) تكون أفضل في استخلاص الحدود ولهذا فإن تحويلة ووالش (WALSH) السريعة تستخدم بشكل واسع في أجهزة الرادار لغرض استخلاص حدود الصور المطلوبة في حالة كون الصورة متحركة بسرعة، وعند تطبيق تقنية العتبة (THRESHOLD) على الصور الناتجة من (HPF) تحصلنا على صور ثنائية واضحة الحدود والمعامل. أما بالنسبة للصورة التقريرية للصورة القليلة التفاصيل (وهي الصور المتحصل عليها من مرشحات الإمرار المنخفض (LPF)، فإن تحويلة (DCT) تكون أدق ونسبة ضغط أعلى حيث بلغت الجودة (45 ديسيل) وعدد البتات لكل بيكسل (5.1328) ونسبة الضغط (64.16%) (2) وقيمة الخطأ (2) وأفضل شكل مستخدم هو الشكل (E)، وفي تحويلة (FWT) لنفس الصورة بنفس الحجم فكانت الدقة (36 ديسيل) وعدد البتات لكل بيكسل (5.1328) ونسبة الضغط (64.16%) ومن مربع الخطأ (17) وأفضل شكل مستخدم هو الشكل (G) ومن هذه القيم يتضح لنا أن تحولتي (FWT) و (DCT) يقومان بضغط الصورة بنفس نسبة الضغط (64.16%) في حالة كون الصورة لها نفس الحجم (512*512) ولكن تحويلة (FWT) أقل في الدقة وأكثر خطاء، أما الصورتين الآخريتين المتوسطة التفاصيل والعالية التفاصيل فإننا قمنا بتغيير حجم الصورة، لأنهما سيعطيان نفس النتائج السابقة في حالة ثبوت الحجم وتكون نسبة الضغط ثابتة والتغير يكون في الجودة ومتوسط قيمة مربع الأخطاء ولكن بنسب ثابتة. وبهذا نستخلص ان افضل النتائج كانت باستخدام الاشكال E و G ، المقترحة في هذا العمل وهي وبالتالي تكون افضل حتى من الاشكال المقترحة سابقا (D و F و i).

المراجع (References)

- [1]- د. عصام عبود "إنقاص التأثير الكلي الناتج عن ضغط الصورة" دار بابل الأسد للعلوم الهندسية 2006.
- [2]- د. محمد إبراهيم و م. حسام علي "المعالجة الرقمية للصور" .2008
- [3]- Dziech, A., Ukasha, A., and Wassermann, J. 2006. Fast Method for Contour Approximation

في الصور الناتجة من مرشحات الإمرار المنخفض (LPF) وهي كما موضحة في الجدول (13) السابق، والشكل (12-ب) يوضح الصورة المكملة للصورة الناتجة من مرشحات الإمرار المنخفض (LPF) وهي الصورة الناتجة من مرشحات الإمرار العالى (HPF)، والشكل (12-ج) يوضح الصورة الثانية للصورة الناتجة من مرشحات الإمرار العالى (HPF). الصورة التي تزيد في نسبة الضغط عن ما هو عليه باستخدام الشكل F كانت باستخدام الشكل D، والناتج المتعلقة بها مبينة في شكل 13.



(أ) (ب) (ج)

شكل 12: باستخدام تحويلة FWT للشكل (F) (أ) الصورة الناتجة من مرشح الإمرار المنخفض (LPF) (ب) الصورة الناتجة من مرشح الإمرار العالى (HPF) (ج) الصورة الثانية للصورة الناتجة من (HPF)



(أ) (ب) (ج)

شكل 13: باستخدام تحويلة FWT للشكل (D) (أ) الصورة الناتجة من مرشح الإمرار المنخفض (LPF) (ب) الصورة الناتجة من مرشح الإمرار العالى (HPF) (ج) الصورة الثانية للصورة الناتجة من (HPF)

الأستنتاجات (Conclusions)

من التجارب العملية السابقة التي قمنا بإجرائها على مجموعة من الصور ذات أحجام مختلفة وذات تفاصيل مختلفة يمكننا أن نحكم أن تحويلة جيب التمام المقاطعة (DCT) هي أكثر دقة في النتائج المتحصل عليها وأكثر دقة في الجودة وأعلى في نسبة الضغط بكثير من تحويلة ووالش السريعة (FWT)، هذا بالنسبة للصور التقريرية (وهي الصور المتحصل عليها من مرشحات الإمرار المنخفض (LPF)) أما بالنسبة للصور الحدوية (وهي الصور المتحصل من مرشحات الإمرار العالى (HPF)) فتكون الصور المتحصل عليها من تحويلة ووالش السريعة (FWT) هي أوضح من حيث الشكل ولكنها أقل في نسبة الضغط ومثال على ذلك ما

- [9]- Blossom K., Amandeep K., and Jasdeep, S. 2011. Steganographic Approach for hiding Image in DCT Domain. pp. . International Journal of Advances in Engineering & Technology.
- [10]- Wolfram, S., 2002. pp. 573 and 1072-1073. A New kind of Science. Champaign, IL: Wolfram Media.
- [11]- Xia, X., Boncelet, C., and Arce, G. 1997. A Multiresolution Watermark for Digital Images. Pp. . Proc. IEEE Int. Conf. on Image Processing.
- [12]- Kundur, D., and Hatzinakos, D. 1998. Digital Watermarking using Multiresolution Wavelet Decomposition. pp. . Proceedings, IEEE International Conference Acoustic, Speech, Signal Processing.
- [13]- Dziech, A., Ukasha, A.A. and Baran, R. 2006. Fast method for contour approximation and compression. pp. 49-56. WSEAS Transaction on communications.
- [14]- Rolon-Heredia, J A, V M Garrido-Arevalo, and Marulanda, J; "Voice compression using discrete cosine transform and wavelet transform", Workshop on Modeling and Simulation for Science and Engineering. IOP publishing, Journal of Physics, Conf. Ser. 1403 012001 (2019).
- and Compression, WSEAS Transactions on communications, January 2006.
- [4]- Ukasha, A.M., and Dziech, A. A. 2012. An Efficient Zonal Sampling Method for Contour Extraction and Image Compression using DCT Transform. pp. 307-712. The 3rd Conference on Multimedia Computing and Systems (ICMCS'12).
- [5]- Claudia, I., Gonzalez P., Melin, J., and Oscar, C. 2017. Edge Detection Methods Based on Generalized Type-2 Fuzzy Logic. Springer Briefs in Applied Sciences and Technology, Computational Intelligence. Janusz Kacprzyk, Polish Academy of Sciences, Systems Research Institute, Warsaw, Poland.
- [6]- Ukasha, A. A., and Ali, R. A. 2016. Basics on Practical Contour & Image Compression Techniques Using MATLAB (Part I) Spatial & Spectral Domains: Contour Compression Methods. LAP LAMBERT Academic Publishing, Germany.
- [7]- Gonzalez, R.C., and Woods, R.E. 2008. Digital Image Processing. III Edition, Upper Saddle River, NJ: Prentice-Hall.
- [8]- Majumder, D., and Chanda, B. 2003. Digital Image Processing and Analysis. Prentice-Hall of India Private Limited, NEW DELHE.